

Statistische Methoden für planare Punktfelder

Franz Király

Universität Ulm

Seminar Simulation und Bildanalyse mit Java

27. Januar 2004

Gliederung

1. Einführung und Grundlagen
2. Intensitätsschätzung
 - Intensität
 - Schätzer für die Intensität
3. Schätzung von Charakteristiken zweiter Ordnung
 - K - und \mathcal{K} -Funktion
 - L -Funktion
4. Schätzung weiterer Charakteristiken
 - Paarkorrelationsfunktion
 - sphärische Kontaktverteilungsfunktion
 - Nächste-Nachbar-Abstands-Verteilungsfunktion
 - J -Funktion

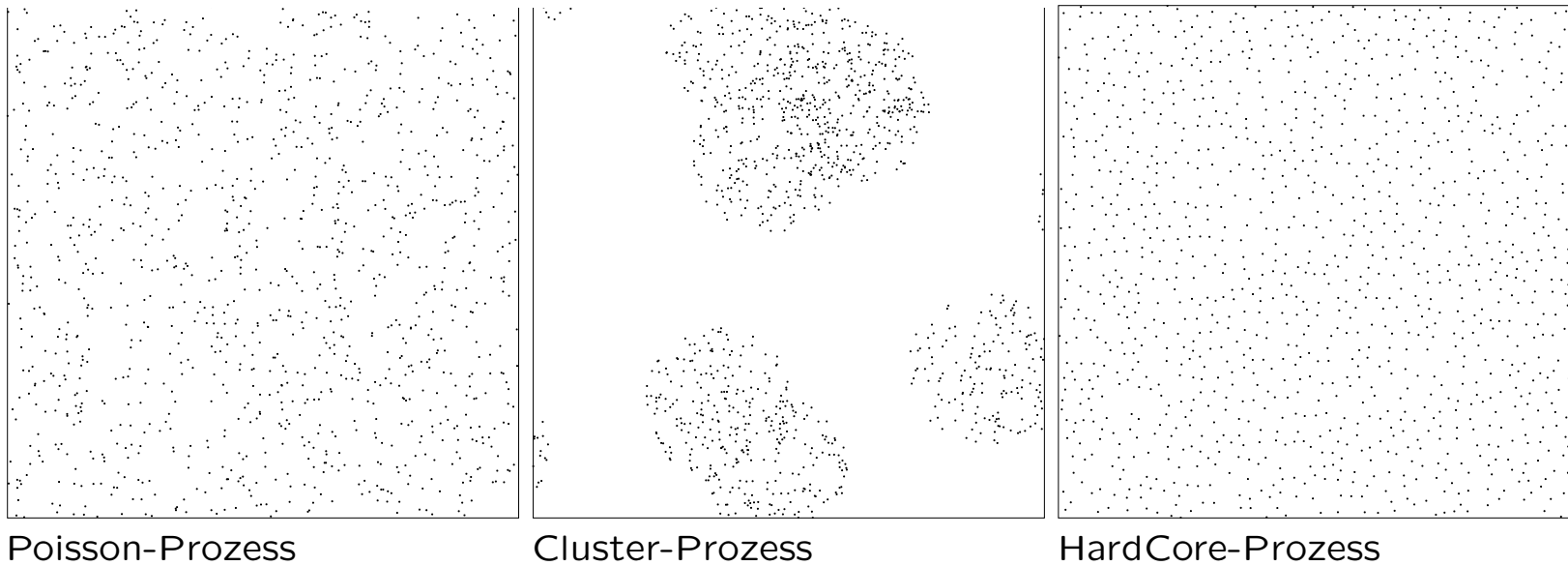
1.1 Motivation

- statistische Untersuchung von planaren Punktmustern, z.B.:
 - Untersuchung der Verteilung von Pflanzen
 - Untersuchung von Versicherungsdaten
 - Untersuchung von porösen Materialien
- Statistische Aussagen über den das vorliegende Punktmuster am besten modellierenden Punktprozess an Hand der geschätzten Charakteristiken
- Statistische Beschreibung und Charakterisierung eines Punktmusters

1.2 Grundlagen

- Betrachtung eines **Beobachtungsfensters** $W \in \mathbb{R}^2$ kompakt, beschränkt (für planare Punktprozesse)
- Beobachtungsfenster im allgemeinen Fall abgeschlossenes Rechteck
- Verwendung der Punkte $x \in W$ als Input zur Schätzung bestimmter definierter Charakteristiken

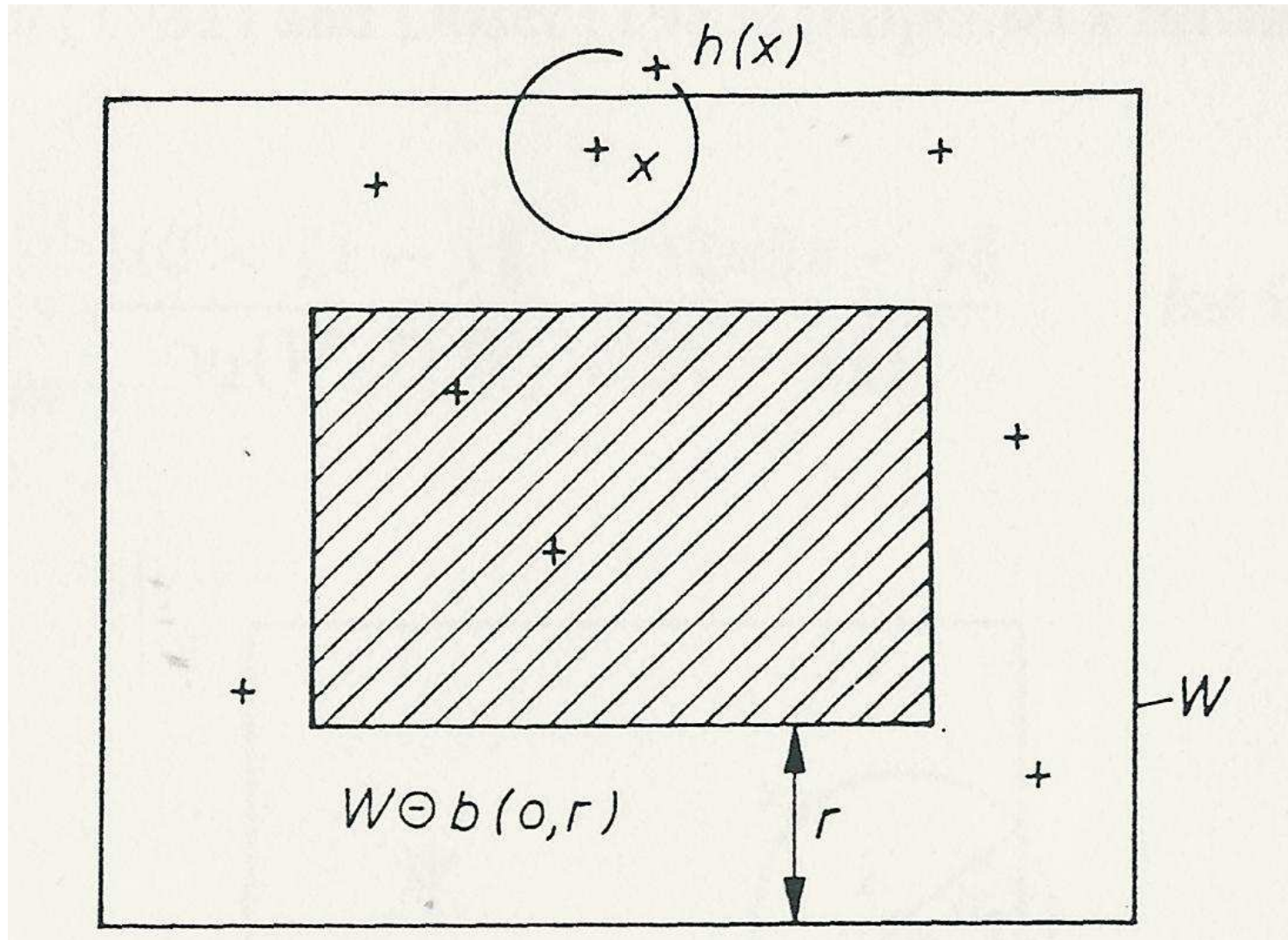
Statistische Methoden für planare Punktfelder



1.3 Beispiele von Punktmustern

1.4 Minus-Sampling

- Schätzung mancher Charakteristika erfordert das Wissen über Punkte in der Umgebung (z.B. Kreis mit Radius r) von Punkten $x \in W$
- **Problem** für Punkte am Rand des Beobachtungsfensters: gesamte Umgebung nicht im Beobachtungsfenster enthalten, d.h. **Randeffekte** können auftreten
- **Minus-Sampling**: betrachte das erodierte Fenster $\tilde{W} := W \ominus b(o, r)$
- Mit Minus-Sampling werden die Randeffekte kompensiert.



1.4 Minus-Sampling: Beispiel

2. Intensitätsschätzung

- **Basisschritt** bei der Untersuchung von Punktmustern
- Intensität ist die erwartete Anzahl von Punkten des Prozesses pro Fläche
- Intensität λ : gewisse Analogie zum Erwartungswert einer ZV
- Erlaubt Aussagen über das erste Moment
- Intensitätsmaß im homogenen Fall uninteressant

2. Schätzer für λ

- Sei Φ Realisierung eines Punktprozesses mit $n = \Phi(W)$
- $\hat{\lambda} := \frac{n}{|W|}$ erwartungstreu für λ
- In der Praxis werden aber auch Schätzer für λ^2 benötigt.
- $\hat{\lambda}^2 := \frac{n(n-1)}{|W|^2}$ erwartungstreu für Poisson-Verteilung (Verwendung auch im allgemeinen Fall).

3. Charakteristika 2-ter Ordnung

- Erlauben Aussagen über Varianz und Kovarianz und zweite Momente
- $\lambda\mathcal{K}(B) := \mathbb{E}(\Phi(B \setminus \{0\}) \parallel 0)$
- $K(r) := \mathcal{K}(b(o, r)) \quad , r \geq 0$
- $\lambda K(r)$ ist die erwartete Anzahl von Punkten von Φ in $b(o, r)$ ohne den Punkt o , falls o als ein Punkt der Realisierung vorausgesetzt wird.
- $K(r)$ ist die entsprechende normierte Größe.
- $L(r) := \sqrt{\frac{K(r)}{\pi}}$, $r \geq 0$
- $L(r)$ gibt über die Verteilung bezogen auf den Radius Auskunft.

3.1 Schätzer für $K(r)$

- Betrachten wir den Prozess Φ mit $\Phi(W) = n$ und $X_i \in W$, $1 \leq i \leq n$ den entsprechenden Punkten.
- Einfaches Verfahren zur Konstruktion von Schätzern: Ersetze erwartete Größen durch entsprechend gemessene.
- Schätze $\lambda K(r)$ mit
$$\kappa_1(r) = \frac{1}{n} \sum_{i=1}^n \Phi(b(X_i, r) \setminus \{X_i\}) \quad , r \geq 0$$
- Problem: Ein solcher Schätzer ist im Allgemeinen nicht erwartungstreu.

3.1 Schätzer für $K(r)$

- Lösung: Schätze zunächst $\lambda^2 K(r)$ und dann λ^2 erwartungstreu.

- Berechne dann $\frac{\widehat{\lambda^2 K(r)}}{\widehat{\lambda^2}}$.

- Voraussetzungen wie zuvor (Φ, n)

- $\kappa_2(r) = \sum_{i=1}^n \frac{\Phi(b(X_i, r) \setminus \{X_i\})}{|W|}$, $r \geq 0$ ist erwartungstreu

- Problem: was passiert mit den Punkten
 $x \in W : d(x, \partial W) < r$?

3.1 Schätzer für $K(r)$

- Idee: betrachte nur die Punkte mit $x \in W : d(x, \partial W) \geq r$
- Dies sind genau die Punkte $x \in \widetilde{W} := W \ominus b(o, r)$.
- Die vorliegende Situation ist ein typischer Anwendungsbereich für Minus-Sampling.
- $\kappa_3(r) = \sum_{x \in \widetilde{W}} \frac{\Phi(b(x, r) \setminus \{x\})}{|\widetilde{W}|}, \quad r \geq 0$ erwartungstreu
- Problem: Informationsverlust für große r bzw. kleine W

3.1 Schätzer für $K(r)$

- Wir leiten einen weiteren Schätzer aus $\kappa_2(r) = \sum_{i=1}^n \frac{\Phi(b(X_i, r) \setminus \{X_i\})}{|W|}$ her:

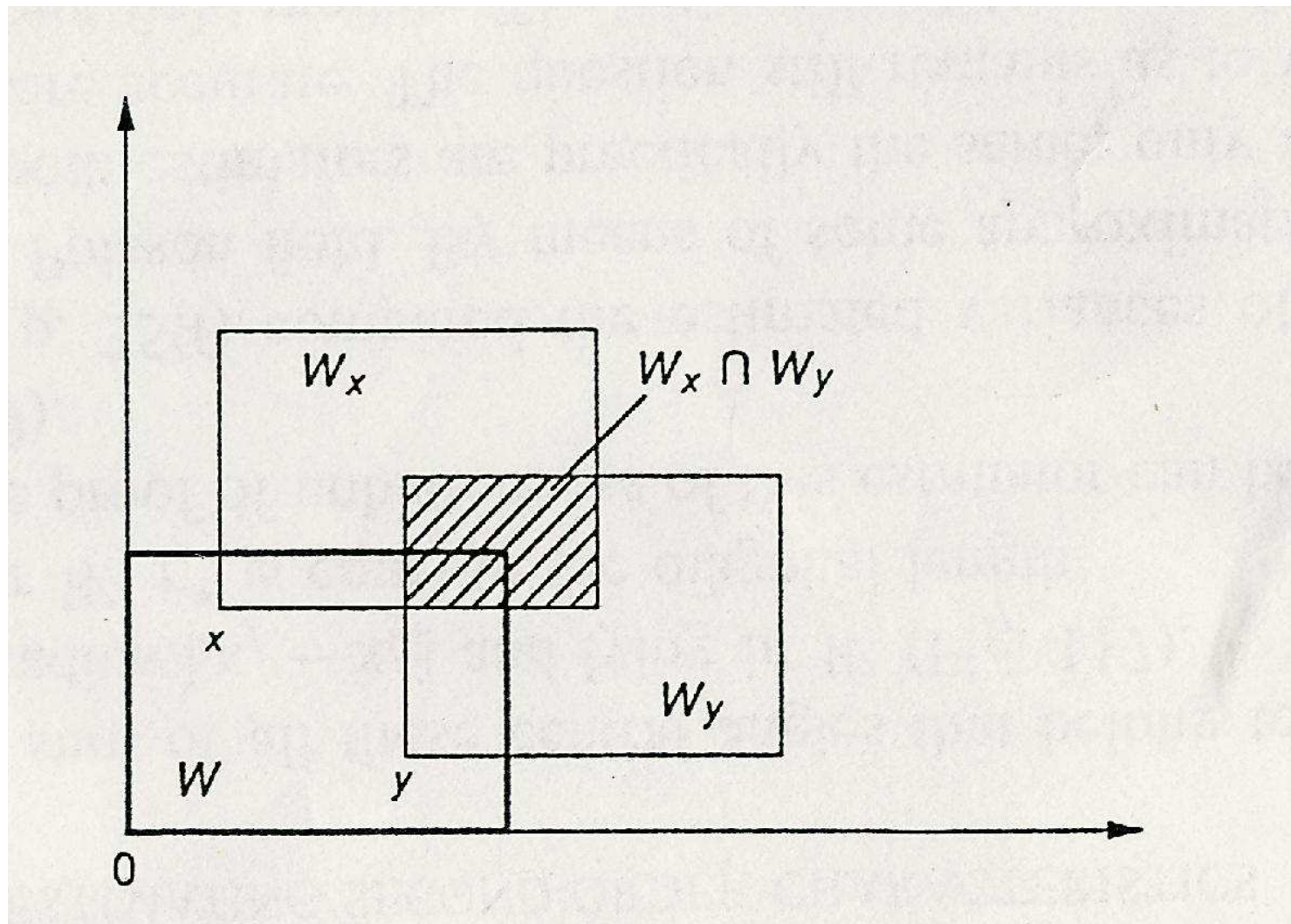
- $$\kappa_2(r) = \sum_{i=1}^n \sum_{\substack{j=1 \\ j \neq i}}^n \frac{1_{b(x_i, r)}(x_j)}{|W|} = \sum_{i=1}^n \sum_{\substack{j=1 \\ j \neq i}}^n \frac{1_{b(o, r)}(x_j - x_i)}{|W|}$$

- Ersetze W durch $W_{x_j} \cap W_{x_i}$:

- $$\kappa(r) = \sum_{i=1}^n \sum_{\substack{j=1 \\ j \neq i}}^n \frac{1_{b(o, r)}(x_j - x_i)}{|W_{x_j} \cap W_{x_i}|}$$

- Es gilt Erwartungstreue für $\widehat{\lambda^2 K(r)}$.

Statistische Methoden für planare Punktfelder



Verdeutlichung der Situation bei κ_3

3.2 Schätzer für $\mathcal{K}(B)$

- Es gilt offensichtlich $K(r) = \mathcal{K}(b(o, r))$.
- Konstruiere Schätzer in Analogie zu $K(r)$ für beliebige Borel-Mengen B .

- $$\kappa(B) = \sum_{i=1}^n \sum_{\substack{j=1 \\ j \neq i}}^n \frac{1_B(x_j - x_i)}{|W_{x_j} \cap W_{x_i}|}$$

- Erwartungstreue für $\kappa(B)$ folgt analog wie bei κ_3 .

3.3 Schätzer für $L(r)$

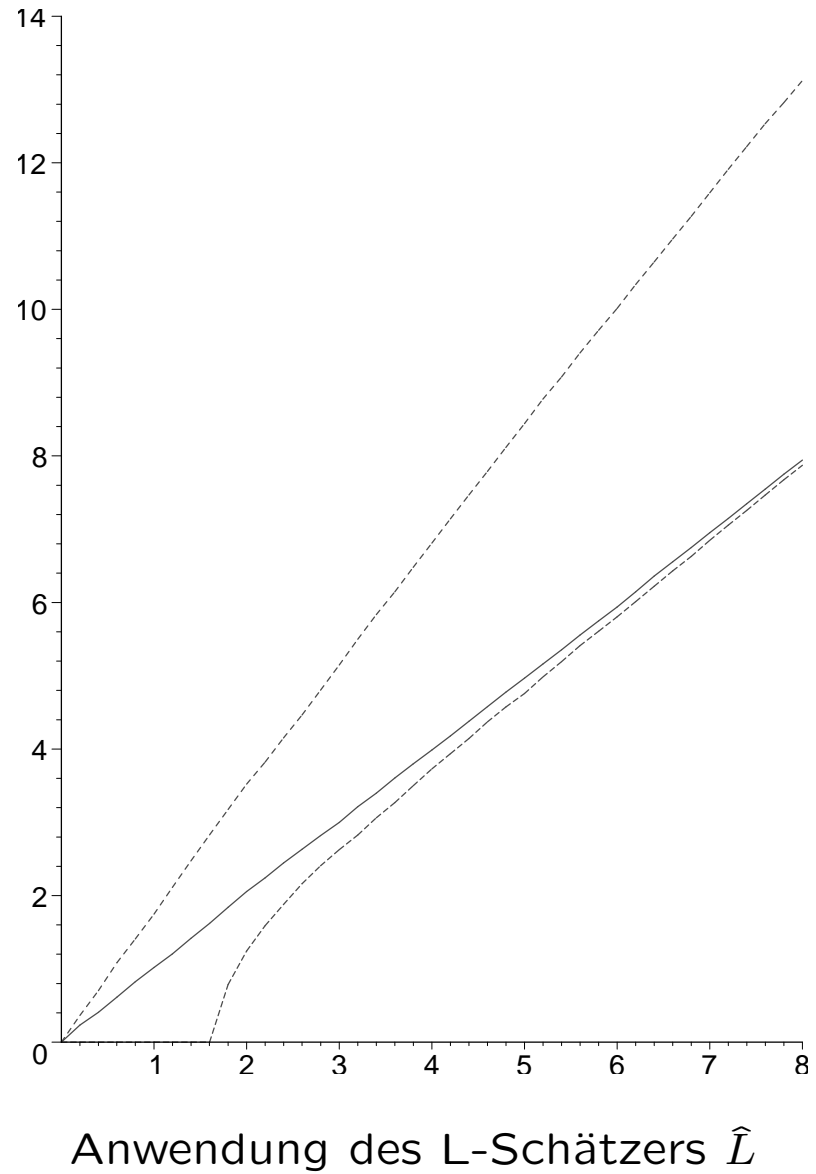
- Erinnerung:

$$L(r) := \sqrt{\frac{K(r)}{\pi}} \quad , r \geq 0.$$

- Aus der Struktur folgt Verwendbarkeit der Schätzer für $K(r)$.

- Schätze also $\hat{L}(r) = \sqrt{\frac{\hat{K}(r)}{\pi}} \quad , r \geq 0.$

Statistische Methoden für planare Punktfelder



4. weitere Charakteristika

- Paarkorrelationsfunktion $g(r)$
- Sphärische Kontaktverteilungsfunktion $H_s(r)$
- Nächste-Nachbar-Abstands-Verteilungsfunktion $D(r)$
- J -Funktion

4.1 Schätzverfahren für die Paarkorrelationsfunktion $g(r)$

- $g(r) := \frac{\rho^{(2)}(r)}{\lambda^2}$ ist normalisierte, infinitesimale Auftretenswahrscheinlichkeit von Punkten eines Punktprozesses an um r voneinander entfernten, festen Stellen.
- Berechne zunächst Schätzer für Produktdichte $\rho^{(2)}(r)$ und λ^2
- Teile dann durch Schätzer für λ^2
- $\hat{g}(r) = \frac{\hat{\rho}^{(2)}(r)}{\hat{\lambda}^2}$

4.1.1 Schätzer für $\rho^{(2)}(r)$

- häufig angewandtes statistisches Verfahren: Kernschätzer

- im isotropen Fall:
$$\hat{\rho}(r) = \frac{1}{2\pi r} \sum_{i=1}^n \sum_{\substack{j=1 \\ j \neq i}}^n \frac{k_h(r-d(x_j, x_i))}{|W_{x_j} \cap W_{x_i}|}$$

- dabei ist $k_h(t)$ die sogenannte Kernfunktion

4.1.2 Kernfunktionen

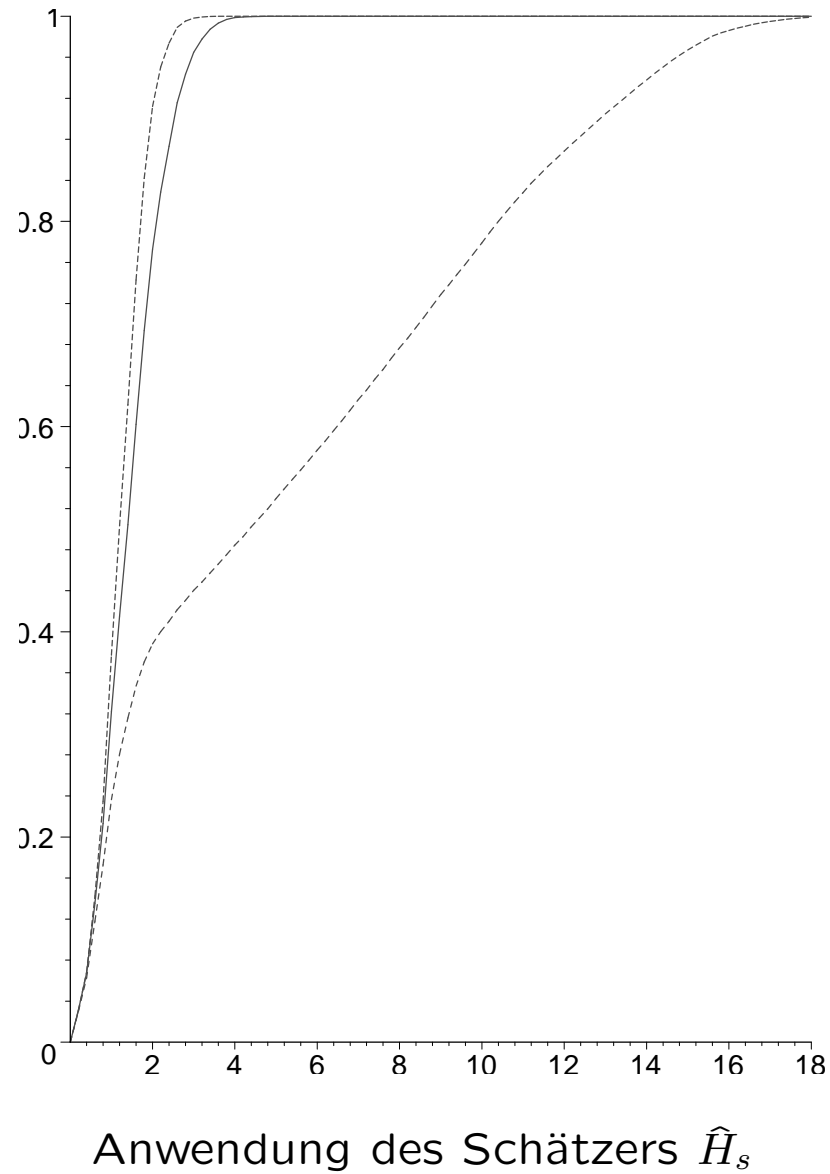
- Verwendung verschiedener Kernfunktionen, z.B.:
- Epanetschnikoff-Kern: $e_h(t) := 1_{[-h,h]}(t) \frac{3}{4h} \left(1 - \frac{t^2}{h^2}\right)$
- Rosenblatt-Kern: $r_h(t) := 1_{[-\sqrt{5}h, \sqrt{5}h]}(t) \frac{1}{h} \left(1 - \frac{t^2}{5h^2}\right) \frac{3}{4\sqrt{5}}$

4.2 sphärische

Kontaktverteilungsfunktion $H_S(r)$

- $H_S(r)$ ist die Verteilungsfunktion, die Auskunft über den Abstand des nächstgelegenen Punktes von Φ vom Ursprung gibt
- $H_S(r) := 1 - \mathbb{P}(\Phi(b(o, r)) = 0), \quad r \geq 0$
- Idee: betrachte den relativen Anteil der Fläche im Beobachtungsfenster, der dadurch entsteht, wenn man um jeden Punkt von Φ einen Kreis mit Radius r legt.
- $\hat{H}_S(r) = \frac{|W \ominus b(o, r) \cap \bigcup_{x \in \Phi} b(x, r)|}{|W \ominus b(o, r)|}, \quad r \geq 0$ erwartungstreu

Statistische Methoden für planare Punktfelder



4.3 Nächste-Nachbar-Abstands- Verteilungsfunktion

- Nächste Nachbar-Entfernung
 $\delta(x_i) := \min_{x \in \Phi} |x_i - x|$
- Sei Ψ_r der Teilpunktprozess, für den jeder Punkt einen nahen Nachbarn besitzt, d.h. $\delta(x) \leq r \wedge x \in \Phi$ gdw. $x \in \Psi_r$
- Idee: betrachte den Teil der Punkte im minus-gesampelten Beobachtungsfenster, die mindestens einen Nachbarn besitzen, der näher liegt als r .
- $\hat{D}_1(r) = \frac{\Psi_r(W \ominus b(o,r))}{\Phi(W \ominus b(o,r))}$, $r \geq 0$
- $\hat{D}_1(r)$ ist lediglich asymptotisch erwartungstreu

4.3 Schätzer für $D(r)$

- Idee: betrachte zunächst den Schätzer $\hat{D}_2(r)$:
- $\hat{D}_2(r) := \sum_{x \in \Psi_r} \frac{1_{W \ominus b(o,r)}(x)}{|W \ominus b(o,r)|} \quad , r \geq 0$
- $\hat{D}_2(r)$ ist ein erwartungstreuer Schätzer für $\lambda D(r)$.
- Konstruiere also $\hat{D}_2(r)$ mit $\hat{D}_2(r) = \underbrace{\frac{\Psi_r(W \ominus b(o,r))}{|W \ominus b(o,r)|}}_{=: \hat{\lambda}} \hat{D}_2(r)$.
- Schätze also $D(r)$ mit $\hat{D}_2(r) := \frac{\hat{D}_2(r)}{\hat{\lambda}}$
- Problem: $\hat{D}_2(r)$ nicht monoton, nicht strikt < 1

4.3 Schätzer für $D(r)$

- Guter bekannter Schätzer: Hanisch-Schätzer

- Betrachte dazu

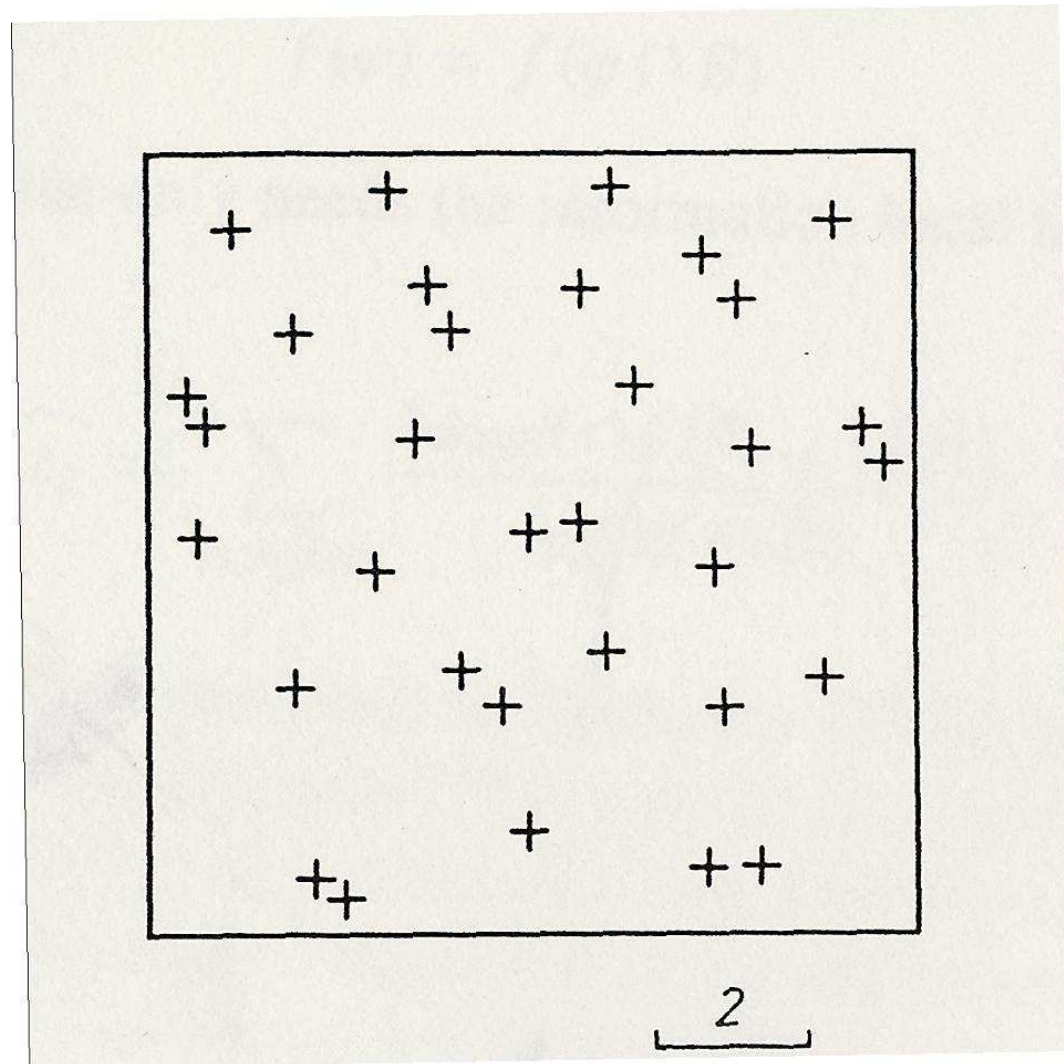
$$\hat{D}_H := \sum_{x \in \Psi_r} \frac{\mathbf{1}_{W \ominus b(o, \delta(x))}(x)}{|W \ominus b(o, \delta(x))|} \text{ als Schätzer für } \lambda D(r).$$

- Schätzung von λ mit den gleichen Daten:

$$\hat{\lambda}_H := \sum_{x \in \Psi_r} \frac{\mathbf{1}_{W \ominus b(o, \delta(x))}(x)}{|W \ominus b(o, \delta(x))|}$$

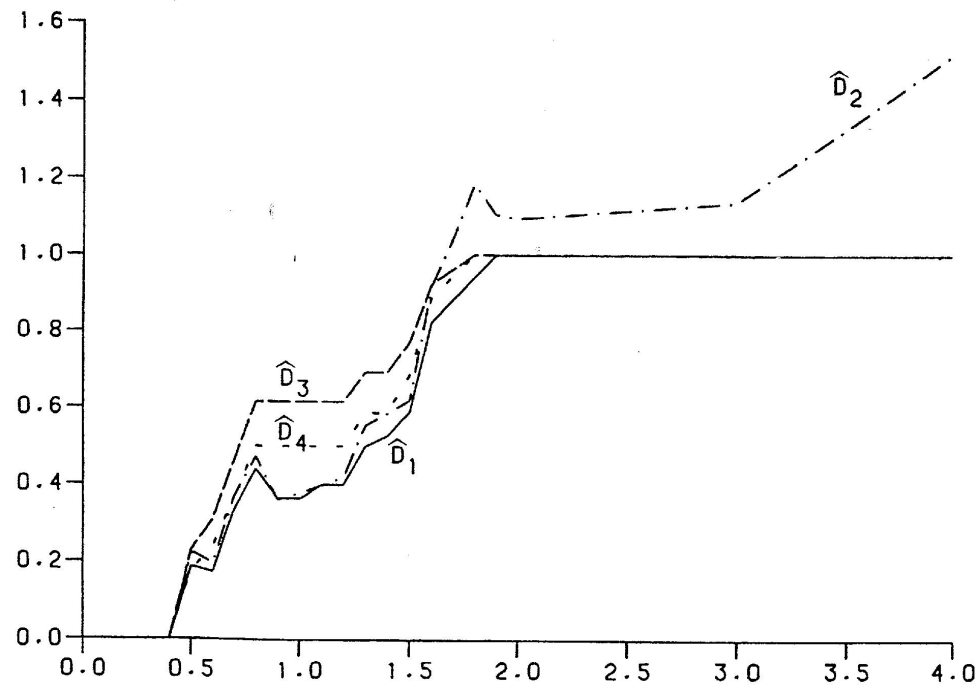
- $\frac{\hat{D}(r)}{\hat{\lambda}}$ ist ein erwartungstreuer Schätzer für $D(r)$.

Statistische Methoden für planare Punktfelder



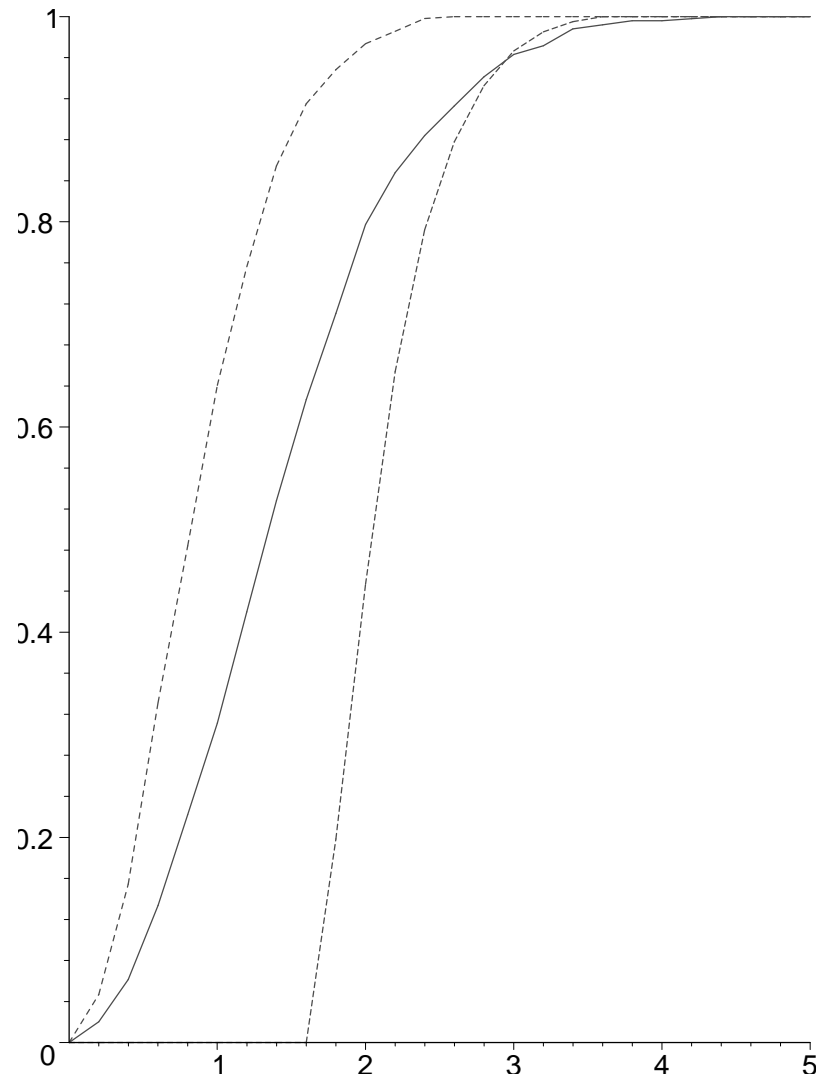
Punktprozess

Statistische Methoden für planare Punktfelder



Vergleich der Schätzer für $D(r)$

Statistische Methoden für planare Punktfelder

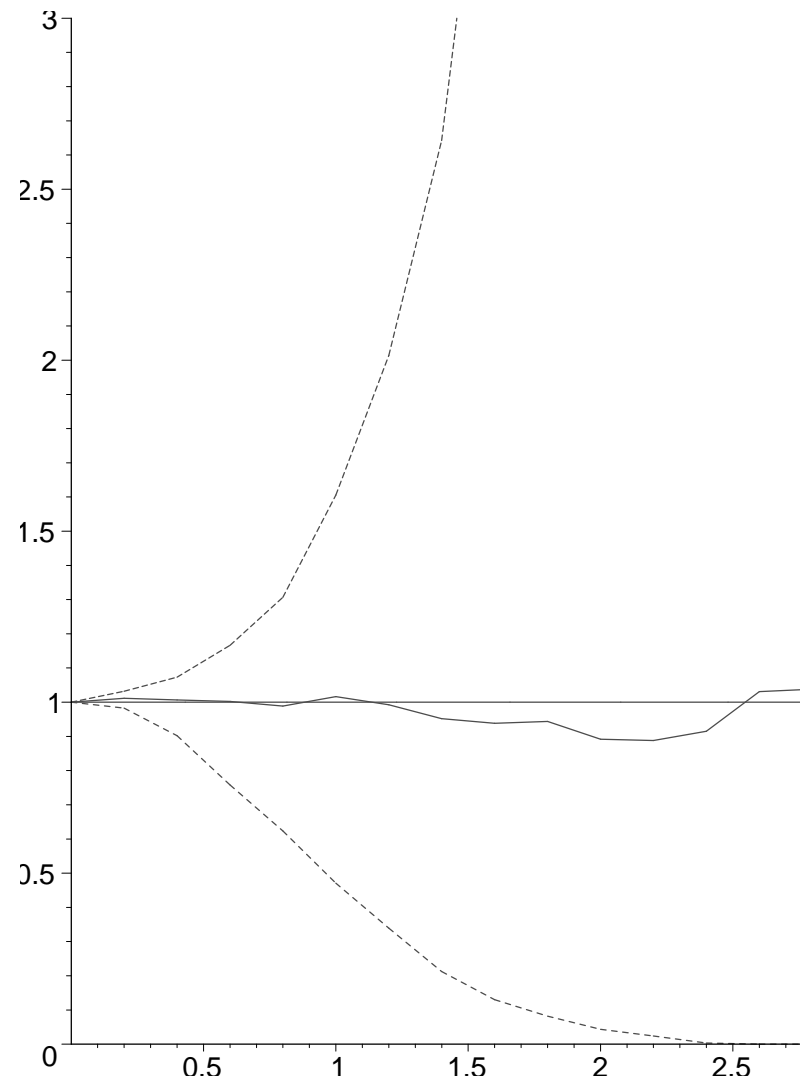


Anwendung des Hanisch-Schätzers $\hat{D}_h(x)$

4.4 Schätzer für die J -Funktion

- Erinnerung: $J(r) := \frac{1-D(r)}{1-H_s(r)}$ mit $r \geq 0, H_s(r) < 1$
- J -Funktion gibt Aufschluss über Anordnung der Realisierung
- Verfahren wie bei L -Funktion: ersetze Größen durch Schätzer:
- $\hat{J}(r) := \frac{1-\hat{D}(r)}{1-\hat{H}_s(r)}$
- Güte der erfolgten Schätzung von $\hat{J}(r)$ hängt von $\hat{D}(r)$ und $\hat{H}_s(r)$ ab

Statistische Methoden für planare Punktfelder



Schätzung von J -Funktionen

5. Zusammenfassung

- Schätzer liefern Information über das **vorliegende Punktmuster**
- Schätzer unterscheiden sich in ihrer Praktikabilität und ihren stochastischen Eigenschaften
- Meist kann ein Punktprozessmodell an Hand der Berechnung mehrerer Charakteristiken identifiziert werden, welches das gegebene Punktmuster “gut” beschreibt

Literatur

[1] Stoyan, Kendall, Mecke: Stochastic Geometry and its Applications, 2nd Ed.

Wiley & Sons, 1995

[2] Stoyan, Stoyan: Fractals, Random Shapes and Point Fields, Methods of Geometrical Statistics

Wiley & Sons, 1994

[3] Hanisch: Some remarks on estimators of the distance function of nearest-neighbour distance in stationary spatial point-patterns

Math. Operationsf. Statist., ss. statistics, ser. statistics

15, 409-412, 1994